

بررسی آزمایشگاهی رفتار پی رینگی مستقر بر خاک مسلح شده با خرده‌لاستیک دانه‌بی و ژئوگرید تحت بار تکراری

محمدحسین کیقبادی (دانشجوی دکتری)

عادل عساکر* (استادیار)

بهزاد کلانتری (استادیار)

مسعود دهقانی (استادیار)

دانشکده‌ی فنی - هندسی، دانشگاه هرمزگان

در پژوهش حاضر رفتار پی‌های رینگی مستقر بر ستر ماسه‌بی مسلح شده با خرده‌لاستیک و ژئوگرید در برابر سطوح مختلف بارهای تکراری ناشی از پروخالی شدن مخزن با استفاده از آزمایش‌های تجربی مورد ارزیابی قرار گرفته است. نتایج نشان می‌دهد افزودن یک لایه مخلوط خاک و خرده‌لاستیک در ترکیب با ژئوگرید می‌تواند نشست‌های خمیری پی را $63/5\%$ کاهش داده و باعث عملکرد ارتیجاعی تر سیستم شود، به‌گونه‌یی که نسبت (سهم) نشست کشسانی از $95/5\%$ در خاک غیرمسلح تا $24/2\%$ در خاک مسلح افزایش یابد. همچنین ضخامت بهینه‌ی مخلوط خاک و خرده‌لاستیک در هر دو حالت حضور یا عدم حضور ژئوگرید برابر با نصف قطر خارجی پی رینگی است. همچنین نتایج نشان می‌دهد، استفاده‌ی همزمان از مسلح‌کننده‌های خرده‌لاستیک و ژئوگرید تأثیر بیشتری در بهبود عملکرد پی رینگی دارد.

mhkeyghobadi@yahoo.com
asakerah@hormozgan.ac.ir
behzad996@yahoo.com
masouddehghani38@gmail.com

وازگان کلیدی: پی رینگی، ماسه، خرده‌لاستیک، بار تکراری، نشست بی.

۱. مقدمه

بسیاری در بهبود عملکرد این پی‌ها دارد، نسبت قطر داخلی (d) به قطر خارجی (D) پی‌های رینگی است که مقدار آن در مطالعات مختلف در حدود $4/0$ به دست آمده است.^[۱-۴] همچنین یکی دیگر از پارامترهای مهم مؤثر در بهبود عملکرد پی رینگی، زبری کف پی است که با افزایش آن ضربی ظرفیت باربری افزایش می‌یابد.^[۴-۵] کوپیدن لایه‌های زیرین پی رینگی و متراکم کردن آن نیز از دیگر عوامل مؤثر در بهبود عملکرد این پی‌ها و مخصوصاً کاهش نشست پی است.^[۶-۷] مثلاً در تحقیقی که در سال ۲۰۱۲ روی پی‌های رینگی مستقر بر ستر ماسه‌بی با تراکم مختلف صورت گرفت، با افزایش چگالی نسبی یک لایه ماسه (که ضخامت آن برابر با قطر خارجی بی رینگی است) نشست پی تا $72/6\%$ کاهش یافت.^[۸] علاوه بر موارد ذکر شده، افزودن مسلح‌کننده‌هایی همچون ژوستیتیک‌ها به بستر پی‌های رینگی می‌تواند تأثیر خوبی در بهبود عملکرد این پی‌ها (افزایش ظرفیت باربری و کاهش نشست) داشته باشد. به خصوص با بهینه کردن پارامترهای نظری فاصله‌ای اولین لایه‌ی مسلح‌کننده تا زیر پی، فاصله‌ی بین لایه‌ها، عرض لایه‌ها و تعداد لایه‌ها، می‌توان انتظار داشت ظرفیت باربری پی رینگی چندین برابر بهتر از حالت غیرمسلح شود.^[۹-۱۰]

یکی از راه‌هایی که باعث بهبود عملکرد بسترهای خاکی می‌شود، افزودن یا همان مخلوط‌سازی خرده‌لاستیک با خاک است. در مطالعه‌یی که در سال ۲۰۰۵ با استفاده از آزمایش سه‌محوری روی مخلوط خاک و خرده‌لاستیک صورت گرفت،

از پی‌های رینگی به عنوان پی سازه‌های خاص همچون مخازن ذخیره‌سازی نفت و گاز و دیگر سیالات، آتن‌های تلویزیونی، دورکش‌ها، راکتورهای انرژی و برج‌های ارتباطی استفاده می‌شود. بنابراین این‌گونه از پی‌ها با توجه به نوع کاربری آن‌ها از اهمیت بسیار بالایی برخوردارند. از نظر ظاهری پی‌های رینگی و دایروی به یکدیگر شبیه‌اند، ولی واقعیت این است که عملکرد پی‌های رینگی در مقایسه با پی‌های دایروی به دلیل نحوه توزیع نشش در زیر این پی‌ها متفاوت بوده و در صورت استفاده از پی‌های رینگی با مشخصات بهینه، این پی‌ها عملکرد بهتری نسبت به پی‌های دایروی دارند. مثلاً در تحقیقی که در سال ۲۰۱۷ صورت گرفت، ظرفیت باربری نهایی از 555 کیلوپاسکال برای پی دایروی به 655 کیلوپاسکال برای پی رینگی با قطر خارجی معادل (و نسبت قطر داخلی به خارجی $4/0$)، افزایش یافته است.^[۱۱] همچنین، با توجه این که در ساخت پی‌های رینگی از مصالح کم‌تری نسبت به پی‌های دایروی با قطر معادل استفاده می‌شود، استفاده از پی‌های رینگی توجیه اقتصادی بیشتری دارد. چنان‌که گفته شد استفاده از پی رینگی با مشخصات بهینه، باعث بهبود عملکرد این‌گونه پی‌ها می‌شود. یکی از این پارامترهای مهم که نقش

* نویسنده مسئول

تاریخ: دریافت ۱۱/۱/۱۳۹۶، اصلاحیه ۳۰، ۱۳۹۷/۲/۳۰، پذیرش ۱۳۹۷/۴/۲۳

DOI:10.24200/J30.2018.50302.2296

مسلح کننده هایی همچون خردل استیک و ژئوگرید (به صورت مجزا و در ترکیب با یکدیگر) در بستر ماسه بی زیرین پی بر بهبود عملکرد این گونه از پی ها مورد ارزیابی قرار گرفته است. برای این منظور ابتدا یک سری آزمایش های اولیه بر روی پی رینگی مستقر بر بستر ماسه بی غیر مسلح انجام گرفت و سپس مجموعه آزمایش های دیگری با همان پی بر بستر ماسه بی مسلح شده با خردل استیک دانه بی، صورت پذیرفت تأثیر این افزودنی بر رفتار پی رینگی در برابر بار تکراری مشخص شود. در آخرین سری از آزمایش ها تأثیر افزودن یک لایه ی ژئوگرید به تهایی و در ترکیب با مخلوط خاک و خردل استیک بر رفتار پی رینگی در برابر بارهای تکراری مورد ارزیابی قرار گرفته است. لازم به ذکر است تأثیر ضخامت لایه مخلوط خاک و خردل استیک که یکی از مهم ترین پارامترهاست، در هر دو شرایط حضور و عدم حضور لایه ی ژئوگرید مورد ارزیابی قرار گرفته است.

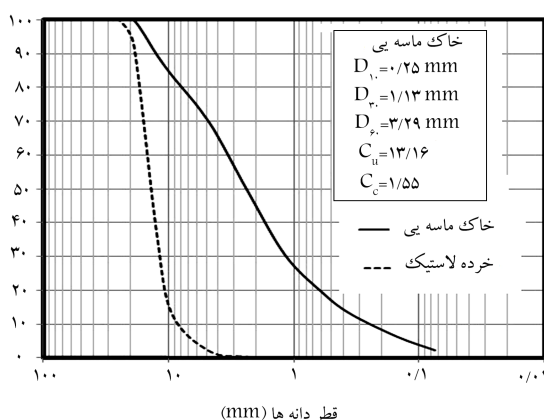
۲. مصالح مورد استفاده در آزمایش

در تمامی آزمایش ها از یک نوع خاک ماسه بی برای پر کردن چاله ای آزمایش که به طول و عرض ۲۰۰۰ میلی متر و ارتفاع ۹۹۰ میلی متر در بستر طبیعی زمین حفر شده بود، استفاده شد که با توجه به سیستم طبقه بندی متعدد ASTM۲۴۸۷-۱۱ (D) [۲۱] این خاک از نوع ماسه خوب دانه بندی شده است. مشخصات این خاک و دانه بندی آن به ترتیب در جدول ۱ و شکل ۱ نشان داده شده است.

خردل استیک مورد استفاده در پژوهش حاضر از نوع خردل استیک دانه بی است که عاری از هرگونه مواد زائد (سیم و نخ) است. لازم به ذکر است استفاده از این نوع خردل استیک به عنوان مسلح کننده در ترکیب با خاک برای بهبود رفتار بستر خاکی

جدول ۱. مشخصات فیزیکی خاک.

مقدار	پارامتر
۰,۲۵ mm	اندازه ای موثر دانه ها (D_{10})
۲,۳۵ mm	اندازه ای متوسط دانه ها (D_50)
۱۳/۱۶	ضریب یکنواختی (C_u)
۱/۵۵	ضریب دانه بندی (C_c)
۰,۷۴	نسبت تخلخل بیشینه (e_{max})
۰,۳	نسبت تخلخل کمینه (e_{min})
%۵/۴	درصد رطوبت (w)
۴۱/۷°	زاویه ای اصطکاک (φ)



شکل ۱. منحنی دانه بندی ماسه و خردل استیک.

مشخص شد افزودن خردل استیک به خاک می تواند باعث افزایش پارامترهای مربوط به مقاومت برشی خاک از قبیل چسبندگی و زاویه ای اصطکاک داخلی خاک شود^[۸]. طبق مطالعات قبلی پارامترهای نظری وزن واحد حجم مخلوط خاک و خردل استیک، نسبت ابعاد دانه های خردل استیک، درصد خردل استیک و همچنین نوع خردل استیک تأثیر بسزایی در بهبود رفتار خاک دارد.^[۱۲-۱۸]

در اینجا ذکر این نکته ضروری است که خردل استیک های مستعمل تهیه می شوند و بنابراین استفاده از این مواد دور ریز علاوه بر فواید باد شده، می تواند کمک شایانی در حفاظت از محیط زیست باشد. لازم به ذکر است سالانه حجم زیادی از لاستیک های مستعمل تولید می شود که بخش قابل توجهی از آن در طبیعت رها شده و باعث آلودگی محیط زیست می شوند.^[۱۲] نتایج پژوهش ها روی پی های مستقر بر بستر های مسلح شده با خردل استیک نشان می دهد، مسلح سازی بستر های خاکی با خردل استیک می تواند سبب افزایش ظرفیت باربری و کاهش نشست انواع پی ها (مربعی، دایروی و نواری) شود.^[۱۶-۱۴] نتایج در سال های ۲۰۱۲

و ۲۰۱۶ نشان می دهد ضخامت بهینه ای لایه مسلح شده با خردل استیک در زیر پی های مربعی و دایروی به ترتیب ۵/۰ و ۴/۰ برابر بعد پی است و در صورت استفاده از این مقدار ظرفیت باربری در یک نشست مشخص از پی به صورت چشمگیری (از ۲۷٪ تا ۲۰٪ نسبت به حالت غیر مسلح) افزایش می باید و چنانچه از ضخامتی بیشتر از ضخامت بهینه استفاده شود تأثیر استفاده از لایه مخلوط خاک و خردل استیک، به دلیل افزایش قابلیت فشردگی پذیری، کاهش می باید.^[۱۵-۱۲]

پژوهش های فوق روی پی های تحت بار استاتیکی صورت گرفته است. اما پژوهش هایی نیز روی پی ها تحت بار تکراری صورت گرفته که نشان می دهد افزودن یک چند مسلح کننده در ترکیب با یکدیگر به بستر زیرین پی ها می تواند تأثیر مهمی بر کاهش نشست پی در برابر این بارها داشته باشد. مثلاً نتایج یک تحقیق در سال ۱۱ که با استفاده از آزمایش های بزرگ مقیاس روی پی مربعی تحت بارگذاری چرخه ای انجام شده است، نشان می دهد که استفاده از زئومش (Geomesh) به تهایی یا در ترکیب با انکر سیستم ترکبی گردید - انکر (Grid-Anchor) به عنوان مسلح کننده در بستر زیرین پی، می تواند نشست های دائمی ماندگار را به ترتیب ۲۴ درصد نسبت به حالت غیر مسلح کاهش داده و همچنین تعداد چرخه رسیدن به شرایط پایدار (از لحظه نشست) را کاهش دهد. البته، استفاده از سیستم ترکبی گردید - انکر تأثیر بیشتری نسبت به سیستم ژئومش به تهایی، در کاهش نشست های دائمی داشته است.^[۱۷]

در تحقیقی دیگر در سال ۱۴ مطالعاتی روی پی دایروی با قطر ۳۰ میلی متر تحت بارگذاری چرخه ای و مستقر بر یک چال آزمایش به ابعاد $2000 \times 2000 \times 30$ میلی متر این تحقیق نشان داد که تغییر شکل های خمیری در اثر استفاده از لایه های ژئوسل به تهایی و در ترکیب با لایه های خردل استیک به ترتیب ۵/۰٪ و ۶/۶٪ نسبت به خاک غیر مسلح کاهش می باید. همچنین سهم نشست های کشسانی از نشست های کلی، از ۴/۶۳٪ در خاک غیر مسلح به ۲۲/۶٪ در اثر افزودن لایه های مسلح سازی افزایش می باید.^[۱۸] در واقع استفاده از لایه مخلوط خاک و خردل استیک یا لایه مسلح کننده ژئوسل (Geocell) به تهایی و به صورت ترکیبی در بستر زیرین پی، می تواند باعث کاهش تغییر شکل های کلی و خمیری شده و با افزایش سهم نشست های کشسانی باعث شود سیستم ارتجاعی تر عمل کرده و قدرت جذب انرژی بالاتری داشته باشد.^[۱۰-۱۸]

در پژوهش حاضر با توجه به اهمیت پی های رینگی و با توجه به مطالعات شده، رفتار این گونه از پی ها در برابر بارهای تکراری و همچنین میراث تأثیر استفاده از



شکل ۳. ژوگرید مورد استفاده در آزمایش ها.



شکل ۴. خردله لاستیک دانه های مورد استفاده در آزمایش ها.

لازم به ذکر است که ابعاد تراشه به گونه بی انتخاب شده است که فضای کافی برای اجرای بخش های مختلف آزمایش از قبیل حفر تراشه، اجرای لایه های مختلف خاک غیر مسلح و همچنین لایه های مخلوط خاک و خردله لاستیک و کوبیدن این لایه ها با استفاده از فشرده ساز بنزینی (که دارای صفحه 40×40 سانتی متری است)، مهیا بوده و همچنین امکان تخلیه و پر کردن تراشه در زمان مناسب تو سط نیروی انسانی وجود داشته باشد. با توجه به این که طول و عرض تراشه در حدود ۷ برابر بعد صفحه بارگذاری است، مرزهای جانبی نمی تواند تأثیر چندانی بر نتایج داشته باشد.^[۲۶-۲۴] مشاهدات میدانی نیز نشان می دهد که سطح خاک برآمده در اطراف بعد صفحه بارگذاری کمتر از دو برابر قطر خارجی پی از محیط پیرامونی آن گسترش یافته و بنابراین اثر مزی دیواره های تراشه بسیار ناچیز است. همچنین با توجه به این که عمق تراشه بیش از سه برابر بعد صفحه بارگذاری است، مز پایینی (کف) تراشه نیز نمی تواند تأثیر چندانی بر نتایج داشته باشد.^[۲۷] روابط موجود در زمینه های تنش انتشار یافته در زیر مرکز یک سطح بارگذاری رینکی نیز نشان می دهد که تنش انتشار یافته در این عمق 990 میلی متر در حدود $1/5$ تنش اعمالی روی سطح پی رینکی است که بسیار ناچیز و قابل صرف نظر است و تأثیر چندانی بر نتایج آزمایش ندارد.^[۲۸] یک شمای کلی از آزمایش ها و دستگاه مربوطه در شکل ۴ نشان داده شده است. غیر از لایه کلاهک که با ضخامت 90 میلی متر به عنوان بالاترین لایه خاکی اجرا می شد، بقیه لایه ها اعم از لایه های خاکی و لایه های مخلوط خاک و خردله لاستیک با ضخامت 75 میلی متر در چاله مذکور ریخته شده و با استفاده از یک فشرده ساز بنزینی که عمق تأثیر آن بین 50 تا 100 میلی متر است، کوبیده می شد (شکل ۵). با توجه به عمق تأثیر فشرده ساز و ضخامت لایه های اجرایی، اولاً این فشرده ساز برای کوبیدن لایه هایی با ضخامت مذکور مناسب است و تأثیر زیادی بر تراکم لایه های پایینی نخواهد داشت. لازم به ذکر است که لایه های خاکی و لایه های خاک و خردله لاستیک هر کدام به ترتیب با دو و سه بار عبور فشرده ساز به بیشینه وزن مخصوص خود رسیده و عبور بیشتر فشرده ساز تأثیر چندانی بر افزایش وزن مخصوص این لایه ها نداشته است. میزان متوسط وزن مخصوص لایه های خاکی و لایه های مخلوط خاک و خردله لاستیک پس از عملیات تراکم، با استفاده از انجام حداقل سه آزمایش متواتی مخروط ماسه 15 -D1556M (ASTM-D1556)^[۲۹] تعیین شد (جدول ۲). چنان که در جدول ۲ مشاهده می شود وزن مخصوص به دست آمده برای مخلوط خاک و خردله لاستیک به میزان قابل توجهی کمتر از وزن مخصوص به دست آمده برای خاک غیر مسلح است که این ناشی از سبک بودن دانه های لاستیک است.

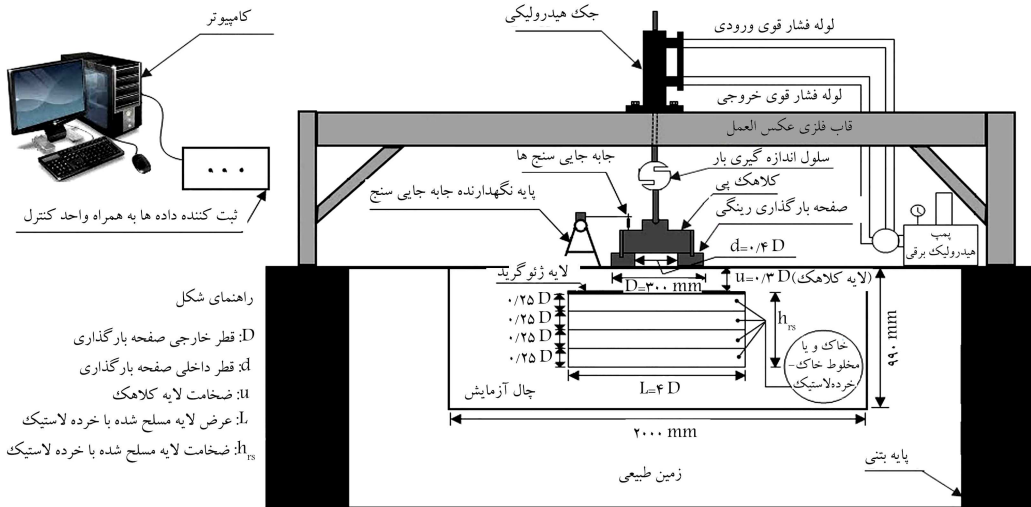
لازم به ذکر است برای صرف جویی در وقت و هزینه و جلوگیری از تعدد بیش از

در آزمایش های بارگذاری صفحه تحت بار استاتیکی و تکراری (که توسط پژوهشگران قبلی انجام شده)، سیار مؤثر بوده است.^[۲۰-۱۵] همچنین مخلوط سازی این نوع از خردله لاستیک با خاک به راحتی توسط مخلوط کن (mixer) انجام می پذیرد و از این جهت در پروژه های واقعی بسیار سودمند است. اندازه دانه های خردله لاستیک مذکور از 2 تا 25 میلی متر بوده و اندازه قطر متوسط دانه ها 14 میلی متر است. بر اساس نتایج تحقیق انجام شده در سال 2005 که با استفاده از پی هایی با اندازه های مختلف و مستقر بر بستر هایی با دانه بندی مختلف (از ریزدانه تا درشت دانه) صورت گرفت، نشان می دهد که در صورت رعایت معیار فوق، قطر صفحه بارگذاری دیگر پژوهش های دیگر نیز که روی انواع مخلوط خاک و خردله لاستیک صورت گرفت، نشان می دهد که در صورت رعایت معیار فوق، قطر صفحه بارگذاری تأثیر چندانی بر نتایج ندارد و نتایج از تکرار پذیری خوبی برخوردارند.^[۲۰-۲۳, ۱۹]

همچنین در سال 2016 طی چند سری مطالعات آزمایشگاهی که روی پی های مدل کوچک مقیاس و بزرگ مقیاس مستقر بر مخلوط انواع خاک (ریزدانه و درشت دانه) در ترکیب با خردله لاستیک صورت گرفت، مشخص شد که چون در هر دو آزمایش کوچک مقیاس و بزرگ مقیاس، معیار فوق (بزرگ تر بودن قطر صفحه بارگذاری از 15 برابر قطر متوسط ذرات) رعایت شده، قطر صفحه بارگذاری تأثیری بر نتایج آزمایش نداشته است. مثلاً در هر دو آزمایش کوچک مقیاس و بزرگ مقیاس، ضخامت بهینه ای لایه مخلوط خاک و خردله لاستیک، $4/0$ برابر قطری به دست آمده است.^[۱۵] لازم به ذکر است در تمامی آزمایش های تحقیق حاضر، قطر خارجی صفحه بارگذاری 300 میلی متر است که بزرگ تر از 15 برابر قطر متوسط ذرات خاک و خردله لاستیک است. با توجه به مطالب گفته شده نگرانی خاصی در مورد اثر بعد صفحه بارگذاری وجود ندارد. منحنی دانه بندی و شکل خردله لاستیک مورد استفاده به ترتیب در شکل های 1 و 2 نشان داده شده است. ژوگرید مورد استفاده در آزمایش ها از نوع CE 131 و از جنس پلی اتیلن با چگالی بالا (HDPE) است (شکل ۳). ابعاد چشممهی این ژوگرید 27 میلی متر و مقاومت کششی آن $5/8$ کیلو بینون برمتر است.

۳. دستگاه انجام آزمایش، آماده سازی آزمایش و نحوه بارگذاری

چنان که در بخش قبل بیان شد، آزمایش ها روی چاله بی به طول و عرض 2000 میلی متر و ارتفاع 990 میلی متر که در بستر طبیعی زمین حفر شده بود، انجام شد.



شکل ۴. شماتیکی از آزمایش‌ها و دستگاه مربوط.

قبلی که روی بی رینگی صورت گرفت، به ترتیب $D/3$ و $D/4$ قطر خارجی بی رینگی است در نظر گرفته شد.^[۷,۸] لازم به ذکر است طبق نتایج حاصل از مطالعات پژوهشگران قبلی روی بی‌های مستقر بر بستر مسلح شده با خردل استیک، وجود یک لایه خاکی غیرمسلح به عنوان کلاهک روی لایه مسلح شده با خردل استیک می‌تواند اثرات مشبّت این لایه مسلح را افزایش دهد.^[۱۲,۱۳] بنابراین در پژوهش حاضر نیز از یک لایه خاک غیرمسلح به عنوان لایه کلاهک روی لایه مسلح شده با خردل استیک استفاده شده است. چنان که در شکل ۴ مشاهده می‌شود سیستم بارگذاری مشتمل از قسمت‌های مختلفی از قبیل قاب فلزی به همراه پایه‌های بتونی برای تأمین نیروی عکس العمل، جک هیدرولیکی به ظرفیت ۱۰ تن به همراه شیلنگ‌های رفت و برگشت برای اتصال به یک پمپ هیدرولیکی برقی برای بازو و بسته شدن جک (به منظور بارگذاری و بازگردانی)، سلول اندازه‌گیری بار (نصب شده در مسیر بارگذاری) با دقیقه ۰/۵ و ظرفیت ۱۵ kN در نهایت یک سیستم انتقال بار شامل شفت بارگذاری (نصب شده در زیر سلول اندازه‌گیری بار) و کلاهک پی (قرار گرفته در زیر شفت بارگذاری) برای انتقال بار به صفحه‌ی رینگی بارگذاری است.

لازم به ذکر است که انتهای شفت بارگذاری کروی است که در قسمت فوقانی کلاهک پی که کاسه‌یی شکل است می‌نشینند تا اجراهی حرکت آزادانه به صفحه‌ی بارگذاری و نشسته‌های نامستقران احتمالی آن را بدهد. همچنین قسمت تحتانی کلاهک پی از یک لوله فلزی فولادی ساخته شده که در داخل شیار تراشیده شده روی صفحه‌ی بارگذاری قرار می‌گیرد. صفحه‌ی بارگذاری نیز یک صفحه‌ی رینگی فولادی صلب با ضخامت $4/25$ میلی‌متر و قطر خارجی $D = 300$ میلی‌متر است. دو جایه‌چایی سنج (LVDT) با دقیقه $0/5$ در محدوده 100 میلی‌متر در دو طرف صفحه‌ی بارگذاری با استفاده از پایه‌ی نگهدارنده مستقل نصب شد تا بتوان میزان نشست سطحی صفحه‌ی بارگذاری را ثبت کرد. لازم به ذکر است که ابزارهای اندازه‌گیری پس از هر سری انجام آزمایش کالیبره می‌شدند تا دقیقه درست خود را حفظ کنند. یک تصویر واقعی از دستگاه آزمایش در شکل ۶ نشان داده شده است؛ از یک ثبت کننده داده‌ها برای ثبت داده‌ها استفاده شده است که این ثبت کننده‌ی داده‌ها می‌تواند اطلاعات ورودی را با سرعت یک نمونه در ثانیه به صورت همزمان از هر یک از ابزارهای اندازه‌گیری ثبت کرده و به عنوان خروجی به رایانه انتقال



شکل ۵. تصویری از کوبیدن بستر با فشرده‌ساز بتزینی.

جدول ۲. وزن مخصوص لایه‌های مختلف پس از تراکم با فشرده‌ساز.

نوع لایه	متوسط وزن (kN/m³)	مخصوص (kN/m³)
خاک غیرمسلح	* ۱۸/۱۲	۱۳/۲
مخاوط خاک - خردل استیک	۱۳/۲	* درجه تراکم تقریبی خاک غیرمسلح ۹۰٪ می‌باشد.

اندازه‌ی پارامترهای مورد بررسی که گیج‌کننده است و باعث افزایش بیش از حد تعداد آزمایش‌های می‌شود، در آزمایش‌های مربوط به پژوهش حاضر، از مقدار بهینه‌ی برخی از پارامترها از قبیل درصد بهینه‌ی خردل استیک در مخلوط خاک و خردل استیک، و نیز عمق مدفون و عرض بهینه‌ی لایه مسلح کننده که توسط پژوهشگران قبلی به دست آمده، استفاده شده است. در این راستا در پژوهش حاضر، درصد وزنی خردل استیک دانه‌یی در مخلوط خاک و خردل استیک برابر با ۸٪ وزنی کل مخلوط که به عنوان مقدار بهینه در آزمایش‌های بارگذاری صفحه به دست آمده بود.^[۱۴] انتخاب شد. همچنین عمق مدفون لایه مسلح کننده (که برابر با ضخامت لایه کلاهک یا همان بالاترین لایه خاکی نشان داده شده در شکل ۴ است) و عرض بهینه‌ی لایه مسلح کننده (که در شکل ۴ نشان داده شده است) با توجه به نتایج حاصل از مطالعات پژوهشگران

جدول ۳. برنامه‌ی انجام آزمایش‌ها.

سری آزمایش	نوع بسترهای	تعداد لایه‌ی ژئوگرید	نسبت ضخامت لایه‌ی مسلح شده با خردلاستیک به قطر خارجی پی (hrs/D)	تعداد آزمایش	هدف آزمایش
۱	غیرمسلح	-	-	*	برای مقایسه‌ی با خاک مسلح
۲	مسلح شده با خردلاستیک	-	-	*۳ + ۴	برای یافتن اثر خرده لاستیک و ضخامت بهینه‌ی لایه‌ی مسلح شده با آن
۳	مسلح شده با خردلاستیک و ژئوگرید	۱	۱۰، ۷۵.۰، ۵.۰، ۲۵	*۴ + ۵	برای یافتن اثر ژئوگرید به تنها و در ترکیب با خرده لاستیک و یافتن ضخامت بهینه‌ی لایه‌ی مسلح شده با آن خردلاستیک در حضور لایه‌ی ژئوگرید

* آزمایش‌های تکراری

شود. نتایج این آزمایش نشان می‌دهد که فشار مربوط به نسبت نشست ۱۲٪ تقریباً برابر با ۸۴° کیلوپاسکال است (لازم به ذکر است نمودار بار - نشست مربوط به این آزمایش برای پرهیز از اطاله‌ی کلام در اینجا نشان داده نشده است). برای انجام آزمایش‌های چرخه‌ی فشار مذکور به سه سطح ۵۶°، ۲۴° و ۸۴° کیلوپاسکال تقسیم شده تا سطوح مختلف پر و خالی شدن مخزن مستقر بر پی رینگی شبیه‌سازی شود و همچنین تأثیر مسلح‌کننده‌ها در سطوح مختلف بارگذاری تکراری مشخص شود. برای هر سطح از بارگذاری ۱۰ چرخه‌ی بارگذاری و باربرداری در نظر گرفته شد که نتایج حاصل از آزمایش‌ها نشان می‌دهد این تعداد از چرخه برای رسیدن به شرایط پایدار کافی است و تعداد چرخه‌ی بیشتر تأثیر چندان زیادی بر تغییر شکل بسترهای ایجاد نخواهد داشت. سرعت بارگذاری و باربرداری در تمام طول آزمایش ثابت و برابر با ۱ کیلوپاسکال بر ثانیه در نظر گرفته شد که توسط واحد کنترل و نرم‌افزار مربوط به آن در رایانه به سیستم اعمال شد.

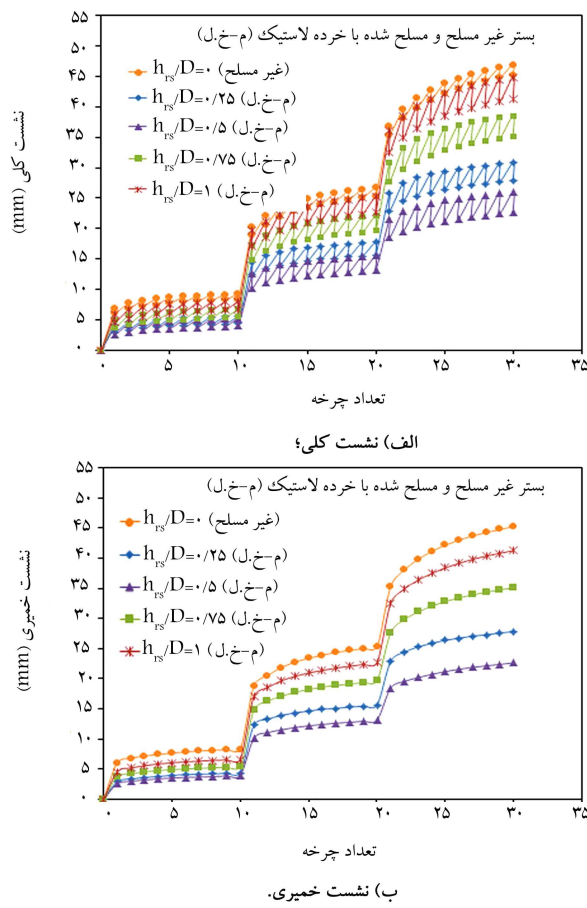


شکل ۶. تصویر واقعی از دستگاه آزمایش.

دهد. یک واحد کنترل در داخل محفظه‌ی ثبت کننده‌ی داده‌ها کارگذاشته شد که می‌توانست با کمک نرم‌افزار مخصوص نصب شده روی رایانه، مسیر بارگذاری و باربرداری و مقدار و سرعت آن را برای سیستم تنظیم کند. در تمام زمان‌های انجام آزمایش مسیر بارگذاری وارده توسط کاربر، و بارگذاری وارده توسط سلول اندازه‌گیری باز به صورت همزمان در نمایشگر رایانه نشان داده می‌شد تا صحت و دقت باروارده کنترل شود.

در مورد مسیر بارگذاری وارده باید گفت که در بسیاری از پژوهش‌های قبلی درخصوص بهبود رفتار پی در اثر استفاده از مسلح‌کننده‌ها، تمرکز اصلی روی میزان بهبود ظرفیت بارگذاری وارده بدون توجه به محدودیت‌های مربوط به نشست بوده است.^[۳۴-۳۰] این موضوع باعث می‌شود که مقایسه‌ها بین رفتار خاک مسلح و غیرمسلح در نسبت‌های نشست (نسبت نشست پی به قطر یا عرض پی) غیرهمسان انجام پذیرد و در ضمن مقایسه‌ها بعضًا در نسبت‌های نشست بسیار بالا (حتی تا ۴۰٪ و ۵۰٪) و غیرکاربردی و غیرمعمول صورت بگیرد. برخی از پژوهشگران رفتار پی را در محدوده‌ی نسبت‌های نشست واقعی کاربردی، مثلاً کمتر از ۱۲٪، بررسی کردند.^[۳۵] در پژوهش پیش رو یک آزمایش استاتیکی اولیه با استفاده از یک پی رینگی مستقر بر پسته غیرمسلح صورت گرفت تا فشار وارده مربوط به نسبت نشست (میزان نشست به قطر خارجی پی رینگی) ۱۲٪ تخمین زده

چنان که در جدول ۳ مشاهده می‌شود، آزمایش‌های سری اول روی بسترهای خاکی غیرمسلح صورت پذیرفت تا با مقایسه‌ی این آزمایش‌ها و آزمایش‌های مربوط به بستر خاکی مسلح میزان تأثیر مسلح شدن مشخص شود. سری دوم آزمایش‌ها روی بسترهای مسلح شده با خردلاستیک (بدون حضور لایه‌ی ژئوگرید) انجام گرفت تا تأثیر مسلح



شکل ۷. نمودار تغییرات بی رینگی در برابر تعداد چرخه‌ی واردہ برای هر دو بستر غیرمسلح و بستر مسلح خاک و خردل استیک با نسبت ضخامت‌های مختلف شامل $1, 0.75, 0.5, 0.25, 0$ در سطوح مختلف بارگذاری تکراری شامل $560, 280$ و 840 کیلوپاسکال.

بیش از حد مخازن و آسیب‌های جیران‌ناپذیر به تأسیسات مدفون مثل لوله‌های انتقال سیالات) شود که البته مسلح‌سازی بهینه‌ی خاک می‌تواند تغییر شکل‌های خمیری را در طول تعداد چرخه‌ی کم بسیار کاهش دهد. این رفتار نتیجه پدیده‌ی به اسم «فروریزی» (Shakedown) است. طبق مطالعات پژوهشگران قبلی، وقتی تغیر شکل‌های خمیری در طول تعداد کمی از چرخه‌های بارگذاری و باربرداری کاهش یافته و ناپدید می‌شوند، یک نوعی از رفتار به نام «فروریزی» مشاهده می‌شود که می‌تواند منجر به ایجاد شرایط پایدار شود و سیستم در این حالت ارتقابی تر عمل می‌کند.^[۳۶-۳۷] نتایج حاصل از مطالعات پژوهشگران قبلی نشان می‌دهد که این پدیده می‌تواند به دلایل مختلف از قبیل سطح پایین نتش وارده^[۳۸] یا مسلح‌سازی خاک با اتفاق یافتد. در پژوهش حاضر چنان‌که در شکل ۷ مشاهده شود، مسلحة مسلحة می‌شود، به نظر می‌رسد پدیده‌ی فروریزی در سطوح پایین نتش بدون در نظر گرفتن نوع بستر (مسلح یا غیرمسلح) اتفاق افتاده است، ولی در سطوح بالای نتش این پدیده فقط در برخی از حالات خاک مسلح اتفاق افتاده است. بنابراین می‌توان نتیجه گرفت که در سطوح بالای نتش، پدیده‌ی فروریزی به دلایل مسلح‌سازی بستر خاکی با خردل استیک اتفاق افتاده است. درواقع استفاده از خردل استیک در ترکیب با خاک موجب عملکرد ارتعابی تر (کشنانی تر) کلی در یک چرخه‌ی مشخص از بارگذاری، هر دو نشست کلی و خمیری در اثر افزودن لایه‌های خاک و خردل استیک کاهش

شدن با خردل استیک مشخص شود. چنان‌که در جدول ۳ دیده می‌شود نسبت ضخامت لایه‌ی مسلح شده با خردل استیک (h_{rs}) به قطر خارجی پی رینگی (D) متغیر بوده تا تأثیر این پارامتر مهم بر رفتار پی رینگی مستقر بر بستر خاکی مسلح شده با خردل استیک سنجیده شود. در سری سوم و آخر از آزمایش‌ها یک لایه‌ی ژئوگرید به بستر پی رینگی اضافه شد تا تأثیر مسلح کننده‌ی ژئوگرید به تنهایی و در ترکیب با لایه‌ی مسلح شده با خردل استیک مشخص شود. همچنین در این سری از آزمایش‌ها نیز نسبت ضخامت لایه‌ی مسلح شده با خردل استیک (h_{rs}) به قطر خارجی پی رینگی مستقر بر بستر خاکی مسلح شده با خردل استیک در شرایط حضور لایه‌ی ژئوگرید سنجیده شود.

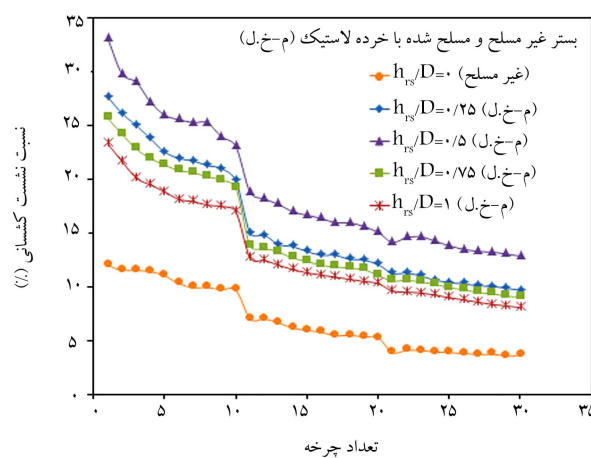
۵. نتایج حاصل از آزمایش‌ها و بحث در مورد آن‌ها

۱.۵. اثر مسلح‌سازی با خردل استیک بر رفتار پی رینگی

چنان‌که در بخش قبل بیان شد آزمایش‌های سری اول و دوم به ترتیب روی بستر غیرمسلح و بستر مسلح شده با خردل استیک انجام گرفت. در شکل ۷الف نمودار تغییرات نشست کلی پی رینگی در برابر تعداد چرخه‌ی واردہ برای هر دو بستر غیرمسلح و بستر مسلح خاک و خردل استیک، با نسبت ضخامت‌های (نسبت ضخامت لایه‌ی خاک و خردل استیک به قطر خارجی پی رینگی) مختلف ($1, 0.75, 0.5, 0.25, 0$) ارائه شده است. همچنین تغییرات نشست های خمیری پی رینگی که همان نشست‌های باقی‌مانده پس از اعمال یک چرخه‌ی کامل بارگذاری و باربرداری است، در برابر تعداد چرخه‌ی واردہ برای هر دو بستر غیرمسلح و بستر مسلح خاک و خردل استیک با نسبت ضخامت‌های مختلف.

($h_{rs}/D = 0, 25, 0, 5, 0, 75, 1$) در شکل ۷ب ارائه شده است.

چنان‌که در شکل ۷ مشاهده می‌شود، هر دو نشست کلی و خمیری با افزایش سطح بارگذاری یک‌باره افزایش می‌یابند. همچنین با افزایش تعداد چرخه در هر سطح بارگذاری برای نشست‌ها افزوده می‌شود؛ البته چنان‌که مشاهده می‌شود بیشترین افزایش نشست مربوط به چرخه‌ی اول هر سطح بار است مثلاً کل نشست خمیری را در حدود 560 کیلوپاسکال) در طی 10 چرخه برای پی رینگی مستقر بر بستر مسلح شده با خردل استیک با نسبت ضخامت برابر پی رینگی در حدود $9/2$ میلی‌متر است که حدود 67% آن در طول چرخه‌ی اول این سطح از بارگذاری اتفاق افتاده است. در واقع سرعت افزایش نشست‌های کلی و خمیری در هر دو بستر مسلح و غیرمسلح، با افزایش تعداد چرخه کاهش می‌یابد؛ این کاهش سرعت در بسترها مسلح شده با خردل استیک نشست های کلی و خمیری در حدود 17 میلی‌متر است که حدود 56 کیلوپاسکال) در سطح دوم از روی کاهش شبیه نمودارها و به بیان دیگر کاهش اختلاف ابتدا و انتهای یک سطح مشخص از بارگذاری (در اثر مسلح‌سازی) مشاهده کرد. مثلاً در سطح دوم از بارگذاری (56 کیلوپاسکال) نشست‌های خمیری در خاک غیرمسلح، پس از 10 چرخه‌ی بارگذاری تکراری در حدود $9/2$ میلی‌متر افزایش یافته است، در حالی که این مقدار در بستر مسلح شده با خردل استیک با نسبت ضخامت 5 چیزی در حدود $9/9$ میلی‌متر است. این بدان معناست که در بسترها مسلح نسبت به بستر غیرمسلح، شرایط پایدار در طول تعداد کمتری از چرخه‌های بارگذاری و باربرداری حاصل ارتعابی تر (کشنانی تر) می‌شود. لازم به ذکر است که تغییر شکل‌های خمیری در بستر زیرین پی‌های رینگی می‌تواند باعث ایجاد خسارت‌های زیاد (از قبیل نشست



شکل ۸. نمودار تغییرات نسبت نشست کشسانی پی رینگی در برابر تعداد چرخه وارده برای هر دو بستر غیرمسلح و بستر مسلح خاک و خردل استیک با خردل استیک با سطوح مختلف شامل $1, 1.5, 2, 2.5, 5, 7.5, 10$ در سطوح مختلف بارگذاری تکراری شامل $280, 560, 840$ کیلوپاسکال.

کشسانی با افزایش ضخامت لایه مسلح سازی، سهم این نشست های از نشست های کلی کاهش می یابد؛ این امر را می توان ناشی از افزایش نشست های خمیری با افزایش بیش از حد ضخامت لایه مسلح (بیش از نصف قطر خارجی پی) که بیشتر به آن اشاره شد، تلقی کرد. با توجه به ترتیب فوق درباره نشست های کلی و خمیری و همچنین نسبت نشست های کشسانی می توان نتیجه گیری کرد که ضخامت بهینه های لایه خاک و خردل استیک برابر با نصف قطر خارجی پی رینگی است.

۵.۱. تأثیر مسلح سازی با ژئوگرید و خردل استیک بر رفتار پی رینگی
چنان که در بخش ۴ بیان شد، نیز با توجه به برنامه ای ارائه شده در جدول ۳، آزمایش های سری سوم روی پی رینگی مستقر بر بستر مسلح شده با ژئوگرید تنها و بستر مسلح شده با ترکیب خردل استیک - ژئوگرید انجام گرفت تا اثر مسلح سازی با ژئوگرید تنها و بدون حضور لایه مسلح خاک و خردل استیک و نیز اثر مسلح سازی همزمان با مسلح کننده های ژئوگرید و خردل استیک مشخص شود.

در شکل ۹ نمودار تغییرات نشست کلی پی رینگی در برابر تعداد چرخه وارده برای بستر های غیرمسلح، مسلح شده با ژئوگرید تنها و مسلح شده با ترکیب خردل استیک - ژئوگرید، با ضخامت های مختلف از لایه مسلح خاک و خردل استیک $1, 1.5, 2, 2.5, 5, 7.5, 10$ در آزمایش سری سوم روی پی رینگی در برابر تعداد چرخه $h_{rs}/D = 0, 25, 5, 10$ ارائه شده است. همچنین تغییرات نشست های خمیری پی رینگی در برابر تعداد چرخه وارده برای بستر های غیرمسلح، مسلح شده با ژئوگرید تنها و مسلح شده با ترکیب خردل استیک - ژئوگرید با ضخامت های مختلف از لایه مسلح خاک و خردل استیک $1, 1.5, 2, 2.5, 5, 7.5, 10$ در شکل ۹ ارائه شده است.

مشابه آزمایش سری اول و دوم (که بر روی بستر غیرمسلح و بستر های مسلح شده با خردل استیک انجام گرفت)، آزمایش سری سوم (که بر روی بستر مسلح شده با ژئوگرید و بستر های مسلح شده با ترکیب خردل استیک - ژئوگرید انجام گرفت) نیز نشان می دهد که هر دو نشست های کلی و خمیری با افزایش سطح بارگذاری و همچنین با افزایش تعداد چرخه های بارگذاری افزایش می یابند، اما با افزایش تعداد چرخه ها، سرعت افزایش نشست کاهش می یابد که این موضوع در بستر های مسلح شده با ترکیب خردل استیک - ژئوگرید بهوضوح مشاهده می شود و لذا در این

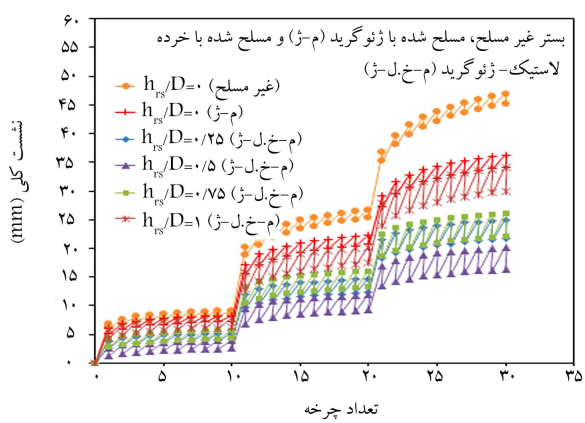
می یابد. مثلاً در چرخه های پانزدهم از بارگذاری تکراری نشست های خمیری مربوط به پی رینگی مستقر بر بستر غیرمسلح و همچنین بستر مسلح شده با خردل استیک با نسبت های ضخامت (h_{rs}/D) $0, 25, 5, 10, 15, 20, 25, 30, 35$ و ۱ به ترتیب برابر با $23/4, 14/5, 11/2, 10/1, 9/7, 8/1, 7/1, 6/1$ و $1/1$ میلی متر است؛ این مقادیر نشان می دهد در اثر افزودن لایه مخلوط خاک و خردل استیک با نسبت های ضخامت (h_{rs}/D) برابر با $0, 25, 5, 10, 15, 20, 25, 30, 35$ و $1/1$ نشست های خمیری به ترتیب $48\%, 38\%, 22\%, 10\%$ و 1% نسبت به شرایط غیرمسلح کاهش داشته اند. این مقادیر نشان می دهد، در یک چرخه مخصوص افزایش بارگذاری و باربرداری بدون توجه به سطح بار، با افزایش ضخامت لایه مسلح خاک و خردل استیک (h_{rs}) تا ضخامتی برابر با نصف قطر خارجی (D) پی رینگی (یعنی $h_{rs}/D = 0, 5$) نشست های کلی و خمیری کاهش می یابد و افزایش بیشتر ضخامت لایه مسلح خاک و خردل استیک تا ضخامت های بیشتر از نصف قطر خارجی پی رینگی (یعنی $1, 0, 75, 0, 5, 0, 25, 0, 10$) سبب افزایش مجدد نشست های کلی و خمیری می شود. این افزایش مجدد نشست های کلی و خمیری می شود. این افزایش مجدد نشست های در نسبت های ضخامت بالا از لایه مسلح خاک و خردل استیک می تواند به دلیل نرمی بیش از حد یا قابلیت فشردنی بالا در اثر افزایش بیش از حد ضخامت لایه مسلح خاک و خردل استیک با خردل استیک را ضعیف می کند. چنان که گفته شد، افزودن لایه مسلح خاک و خردل استیک به بستر پی می تواند رفتار بسته را ارجاعی تر کند و بدین ترتیب نشست های کشسانی یا ارجاعی (اختلاف نشست پی در بارگذاری و باربرداری در هر چرخه) را افزایش دهد. قابلیت جذب انرژی با افزایش سهم نشست های کشسانی افزایش یافته و بدین ترتیب سیستم به سمت شرایط پایدار حرکت می کند. اما چنان که ذکر شد افزایش بیش از حد ضخامت لایه مسلح خاک و خردل استیک سبب افزایش نشست های کلی و خمیری می شود.

با توجه به جمیع مطالب گفته شده، باید از لایه مسلح خاک و خردل استیک با ضخامت بهینه استفاده کرد تا اثرات مثبت استفاده از این لایه حفظ شود. برای ارزیابی رفتار ارجاعی بستر پی، تغییرات نسبت نشست کشسانی (نسبت نشست کشسانی در هر چرخه) به بیشینه نشست کلی رخ داده از شروع چرخه اول در برابر تعداد چرخه های وارده برای هر دو بستر غیرمسلح و بستر مسلح شده خاک و خردل استیک با نسبت ضخامت های مختلف $1, 1.5, 2, 2.5, 5, 7.5, 10$ در شکل ۸ ارائه شده است.

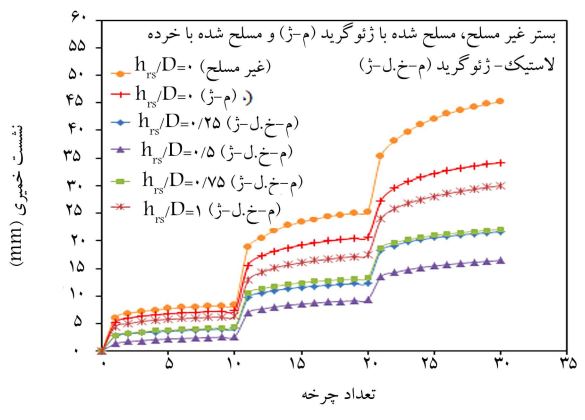
در شکل ۸ به وضوح می بینیم که نسبت نشست کشسانی در تمامی چرخه های بارگذاری برای بستر مسلح شده با خردل استیک (صرف نظر از ضخامت لایه خاک و خردل استیک) بیشتر از بستر غیرمسلح ارجاعی تر عمل می کند. همچنین مشاهده می شود که در یک چرخه مخصوص افزایش بارگذاری و باربرداری بدون توجه به سطح بار، با افزایش ضخامت لایه مسلح خاک و خردل استیک (h_{rs}) تا ضخامتی برابر با نصف قطر خارجی (D) پی رینگی (یعنی $h_{rs}/D = 0, 5$) نسبت نشست های کشسانی افزایش می یابد و افزایش بیشتر ضخامت لایه مسلح خاک و خردل استیک تا ضخامت های بیشتر از نصف قطر خارجی پی رینگی (یعنی $1, 0, 75, 0, 5, 0, 25, 0, 10$) سبب کاهش مجدد نشست های کشسانی یا ارجاعی (به طور مثال در چرخه های پانزدهم نسبت نشست کشسانی برای خاک غیرمسلح و خاک مسلح شده با خردل استیک با نسبت های ضخامت (h_{rs}/D) برابر با $25/5, 20/5, 15/5, 10/5, 5/5, 1/5$ و $1/1$ به ترتیب برابر با $95\%, 90\%, 85\%, 80\%, 75\%, 65\%$ و 55% است. این افزایش اولیه و سپس کاهش سهم نشست های کشسانی با افزایش ضخامت لایه مسلح خاک و خردل استیک، نشان می دهد علی رغم افزایش نشست های

با نسبت‌های ضخامت (h_{rs}/D) برابر با $0,25, 0,5, 0,75, 1,0$ و 1 به ترتیب $17,9\%, 50,4\%, 63,5\%, 46,9\%$ و $31,5\%$ نسبت به شرایط غیرمسلح کاهش داشته‌اند. این مقادیر نشان می‌دهد، در بسترهای مسلح شده با ترکیب خردل‌لاستیک - ژوگرید همانند بسترهای مسلح شده با خردل‌لاستیک بدون حضور ژوگرید (شکل ۷) و در یک چرخه‌ی مشخص از فرایند بارگذاری و باربرداری بدون توجه به سطح بار، با افزایش ضخامت لایه‌ی مخلوط خاک و خردل‌لاستیک (h_{rs}) تا ضخامتی برابر با نصف قطر خارجی (D) پی رینگی یعنی $0,5(h_{rs}/D = 1)$ نشست‌های کلی و خمیری کاهش می‌یابند و افزایش بیشتر ضخامت لایه‌ی مخلوط خاک و خردل‌لاستیک تا ضخامت‌هایی بیشتر از نصف قطر خارجی پی رینگی (یعنی $1,0(h_{rs}/D = 2,5)$) سبب افزایش مجدد نشست‌های کلی و خمیری می‌شود.

ذکر این نکته ضروری است که در تمام چرخه‌های بار تکراری صرف‌نظر از سطح بار وارد، نشست‌های کلی و خمیری پی رینگی مستقر بر بستر مسلح شده با خردل‌لاستیک (بدون حضور ژوگرید شکل ۷) با نسبت ضخامت $h_{rs}/D = 0,75$ بیشتر از بستر مسلح شده با خردل‌لاستیک (بدون حضور ژوگرید، در شکل ۷) با نسبت ضخامت $h_{rs}/D = 0,25$ است، در حالی که نشست‌های کلی و خمیری پی رینگی مستقر بر بستر مسلح شده با ترکیب خردل‌لاستیک - ژوگرید (شکل ۹) با نسبت ضخامت $h_{rs}/D = 0,75$ تقریباً برابر با بستر مسلح شده با ترکیب خردل‌لاستیک - ژوگرید (شکل ۹) با نسبت ضخامت $h_{rs}/D = 0,25$ است که این موضوع می‌تواند مربوط به اثراً مثبت استفاده از ژوگرید باشد. نتایج حاصل از تحقیقات پژوهشگران قبلی در مورد سازوکار گسیختگی بسترهای مسلح شده با مسلح‌کننده‌های نواری افقی و از جمله لایه‌های افقی ژوگرید نشان می‌دهد که گوه گسیختگی شبیه صلب (تشکیل شده در زیر صفحه بارگذاری)، در بسترهای مسلح شده با ژوگرید کسترش بیشتری از لحاظ عرض و ارتفاع نسبت به بسترهای غیرمسلح دارند، [۲۰-۲۸] بنابراین مسلح‌سازی بستر پی با مسلح‌کننده ژوگرید سبب می‌شود که محدوده‌ی بزرگ‌تری از لحاظ عمق، در اثر بارگذاری درگیر شده و این موضوع می‌تواند سبب فعل شدن نقش مسلح‌سازی لایه‌هایی از مخلوط خاک و خردل‌لاستیک شود که در عمق پایین‌تری قرار گرفته‌اند. ولی با توجه به نمودارهای موجود در شکل ۹ اثر مثبت لایه‌ی ژوگرید در فالن کردن لایه‌هایی از مخلوط خاک و خردل‌لاستیک به اندازی‌ی نبوده است که بتواند بر آثار منفی ناشی از به کارگیری یک لایه‌ی مخلوط خاک و خردل‌لاستیک با ضخامتی بیش از ضخامت بهینه که برابر با نصف قطر خارجی پی رینگی است (به بخش ۱.۵ رجوع شود) غلبه کند، زیرا چنان که در بخش قبل گفته شد افزایش ضخامت لایه‌ی مخلوط خاک و خردل‌لاستیک به ضخامتی بیش از ضخامت بهینه سبب افزایش نشست‌های خمیری می‌شود. بنابراین چنان که در شکل ۹ مشاهده می‌شود در شرایطی که ژوگرید حضور داشته باشد همانند شرایطی که ژوگرید حضور ندارد، کمترین نشست‌ها (کلی و خمیری) مربوط به پی رینگی مستقر بر بستر غیرمسلح شده با مخلوط خاک و خردل‌لاستیک با ضخامتی بیش از ضخامتی شکل ۹ و مشخص می‌شود که در یک چرخه‌ی مشخص از بار تکراری صرف‌نظر از سطح بار، بستر مسلح شده با ترکیب خردل‌لاستیک - ژوگرید عملکرد بهتری نسبت به بستر مسلح شده با خردل‌لاستیک (بدون حضور ژوگرید) در کاهش نشست‌های کلی و خمیری داشته است. به طور مثال در چرخه‌ی پانزدهم از بارگذاری نشست‌های خمیری برای پی رینگی مستقر بر بستر مسلح شده با خردل‌لاستیک (بدون حضور ژوگرید) با نسبت‌های ضخامت (D/h_{rs}) برابر با $16,02, 14,02, 11,06, 10,04, 8,05, 6,04, 4,02, 2,02$ و $0,05$ میلی‌متر است که این مقادیر نشان می‌دهد نشست‌های خمیری در اثر افزودن لایه‌ی ژوگرید بهتایی و در ترکیب با لایه‌ی مسلح خاک و خردل‌لاستیک



(الف) نشت کلی؛



(ب) نشت خمیری.

شکل ۹. نمودار تغییرات پی رینگی در برابر تعداد چرخه‌ی وارد بسترهای غیرمسلح، مسلح شده ژوگرید (م-ژ) و مسلح شده با خردل‌لاستیک - ژوگرید با سطوح مختلف شامل $1,0, 0,25, 0,5, 0,75, 1$ در سطوح بارگذاری تکراری شامل $280, 560, 560, 840$ کیلوپاسکال.

بسترهای مسلح، شرایط پایدار در طول چرخه‌های کمتری نسبت به بستر غیرمسلح حاصل می‌شود.

چنان که در شکل ۹ (در یک چرخه‌ی مشخص از فرایند بارگذاری تکراری، هر دو نشست‌های کلی و خمیری پی رینگی مستقر بر بستر مسلح شده با ژوگرید (بدون حضور لایه‌ی مخلوط خاک و خردل‌لاستیک) کمتر از نشست‌های کلی و خمیری پی رینگی مستقر بر بستر غیرمسلح شده با ترکیب خردل‌لاستیک - ژوگرید کمتر از نشست‌های کلی و خمیری پی رینگی مستقر بر بستر مسلح شده با ژوگرید (بدون حضور لایه‌ی مخلوط خاک و خردل‌لاستیک) است که این نشان می‌دهد مسلح‌سازی هم‌زمان با خردل‌لاستیک و ژوگرید مؤثرتر از مسلح‌سازی با لایه‌ی ژوگرید تنها (بدون حضور لایه‌ی مخلوط خاک و خردل‌لاستیک) است. مثلاً در چرخه‌ی پانزدهم از بارگذاری نشست‌های خمیری مربوط به پی رینگی مستقر بر بسترهای غیر مسلح شده با ترکیب خردل‌لاستیک - ژوگرید با نسبت‌های ضخامت (D/h_{rs}) $0,25, 0,5, 0,75, 1$ به ترتیب برابر با $2,0, 4,0, 6,0, 8,0, 10,0$ میلی‌متر است که این مقادیر نشان می‌دهد نشست‌های خمیری در اثر افزودن لایه‌ی ژوگرید بهتایی و در ترکیب با لایه‌ی مسلح خاک و خردل‌لاستیک

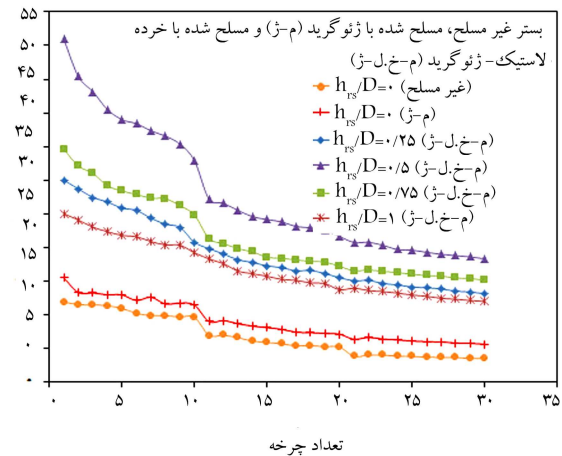
۱۵٪ و ۱٪ به ترتیب برابر با٪ ۸/۱۳،٪ ۱۷/۳،٪ ۲۴/۲،٪ ۱۸/۶ و ٪ ۱۵/۱۸ است.

با توجه به مطالعه کنته شده درباره نشستهای کلی، خمیری و نسبت نشستهای کشسانی می‌توان تتجه‌گیری کرد که در بسترهای مسلح شده با ترکیب خردلاستیک - ژئوگرید همانند بسترهای مسلح شده با خردلاستیک بدون حضور ژئوگرید (رجوع به بخش ۱۰.۵) ضخامت بهینه‌ی لایه‌ی خاک و خردلاستیک برابر با نصف قطر خارجی پی رینگی است.

مقایسه شکل‌های ۸ و ۱۰ نشان می‌دهد که در یک چرخه مشخص از بار تکراری صرف نظر از سطح بار، بستر مسلح شده با ترکیب خردلاستیک - ژئوگرید عملکرد بهتری نسبت به بستر مسلح شده با خردلاستیک (بدون حضور ژئوگرید) در افزایش سهم نشستهای ارجاعی داشته است. مثلاً در چرخه‌ی پانزدهم از بارگذاری تکراری نسبت نشستهای کشسانی برای پی رینگی مستقر بر بستر مسلح شده با خردلاستیک (بدون حضور ژئوگرید) با نسبت‌های ضخامت (h_{rs}/D) برابر با ٪ ۷۵، ۰، ۵، ۰، ۲۵ و ۱٪ به ترتیب برابر با٪ ۱۷/۳،٪ ۲۴/۲،٪ ۱۸/۶ و ٪ ۱۵/۱۸ است.

۶. نتیجه‌گیری

در پژوهش حاضر با توجه به اهمیت پی‌های رینگی و کاربرد گسترده‌ی آنها در صنایع مختلف، رفتار این‌گونه پی‌ها در برابر بارهای تکراری و همچنین میزان تأثیر مسلح‌کننده‌هایی همچون خردلاستیک دانه‌ی و ژئوگرید بهنهایی و در ترکیب با یکدیگر بر بهبود رفتار این‌گونه از پی‌ها، توسط آزمایش‌های تجربی مورد ارزیابی قرار گرفته است. نتایج نشان می‌دهد که افزون لایه‌ی مسلح شده با خردلاستیک، می‌تواند نشستهای خمیری پی رینگی را تا ۴۸٪ نسبت به حالت غیرمسلح کاهش دهد که البته با افزودن یک لایه‌ی ژئوگرید در بالای لایه‌ی مذکور، این مقادیر تا ۵/۶۳٪ افزایش می‌یابد. این موضوع نشان می‌دهد مسلح‌سازی هم‌زمان با خردلاستیک و ژئوگرید تأثیر بیشتری در کاهش نشست خمیری و بهبود رفتار پی دارد. همچنین نتایج نشان می‌دهد سرعت افزایش نشستهای کلی و خمیری در بسترهای مسلح شده نسبت به بستر غیرمسلح، کاهش می‌یابد. در افع افزودن مسلح‌کننده‌هایی چون خردلاستیک و ژئوگرید بهنهایی و در ترکیب با یکدیگر، می‌تواند تغییر شکل‌های خمیری را در طول تعداد چرخه‌ی کم کاهش دهد که باعث بروز رفتاری به اسم «فروزیزی» می‌شود که در اثر آن سیستم ارجاعی تر عمل کرده و شرایط پایدار حاصل می‌شود. نتایج نشان می‌دهد در چرخه‌ی پانزدهم از بارگذاری تکراری، نسبت نشست کشسانی پی رینگی مستقر بر خاک غیر مسلح ۹۵٪ بوده است که این مقادیر در اثر مسلح‌سازی خاک تا ۲۴٪ افزایش یافته است. به بیان دیگر با افزودن مسلح‌کننده‌هایی چون خردلاستیک و ژئوگرید، سهم نشستهای کشسانی بیشتر شده و قدرت جذب انرژی سیستم بالاتر می‌رود. همچنین نتایج حاصل از آزمایش‌ها (درباره نشستهای کلی، خمیری و نسبت نشستهای کشسانی) نشان می‌دهد که در بستر مسلح شده با خردلاستیک (بدون حضور ژئوگرید) و همچنین بستر مسلح شده با ترکیب خردلاستیک - ژئوگرید، ضخامت بهینه‌ی لایه‌ی خاک و خردلاستیک برای بهبود رفتار پی رینگی در برابر بارگذاری، برابر با نصف قطر خارجی پی رینگی است.



شکل ۱۰. نمودار تغییرات نسبت نشست کشسانی پی رینگی در برابر تعداد چرخه‌ی واردہ بر بسترهای غیرمسلح، مسلح شده با ژئوگرید و مسلح شده با خردلاستیک - ژئوگرید با نسبت ضخامت‌های مختلف شامل ۱ و ۰،۲۵، ۰،۵، ۰،۷۵ در سطوح مختلف بارگذاری تکراری شامل ۰،۲۵، ۰،۵، ۰،۷۵ و ۰،۸۵ کیلوپاسکال.

میلی‌متر است، در حالی که نشستهای خمیری برای پی رینگی مستقر بر بستر مسلح شده با ترکیب خردلاستیک - ژئوگرید با نسبت‌های ضخامت (h_{rs}/D) برابر با ۰،۲۵، ۰،۵، ۰،۷۵ و ۱٪ به ترتیب برابر با ۱۲/۴۲، ۸/۵۴، ۱۱/۶ و ۱۶/۰۲ میلی‌متر است.

چنان که در شکل ۹ مشاهده می‌شود مسلح‌سازی خاک با ژئوگرید و به ویژه مسلح‌سازی خاک با ترکیب خردلاستیک - ژئوگرید می‌تواند نشستهای خمیری را در طول تعداد چرخه‌ی کم بسیار کاهش دهد که مطابق آنچه که در بخش ۱.۵ بیان شد، این رفتار «فروزیزی» نام دارد که باعث می‌شود سیستم ارجاعی تر عمل کند و شرایط پایدار حاصل شود. برای ارزیابی رفتار ارجاعی بسترهای مسلح شده با ژئوگرید، تغییرات نسبت نشست کشسانی در برابر تعداد چرخه‌ی واردہ برای بسترهای غیرمسلح، مسلح شده با ژئوگرید تنها و مسلح شده با ترکیب خردلاستیک - ژئوگرید با نسبت ضخامت‌های مختلف (۱ و ۰،۲۵، ۰،۵، ۰،۷۵) در شکل ۱۰ ارائه شده است. چنان که مشاهده می‌شود نسبت نشست کشسانی در تمامی چرخه‌های بارگذاری برای بستر مسلح شده با ژئوگرید، بیشتر از بستر غیرمسلح است؛ همچنین نسبت نشست کشسانی در تمامی چرخه‌های بارگذاری برای بستر مسلح شده با ترکیب خردلاستیک - ژئوگرید بیشتر از بستر مسلح شده با ژئوگرید تنها (بدون حضور خردلاستیک) است که این نشان می‌دهد بسترهای مسلح شده با ترکیب خردلاستیک - ژئوگرید نسبت به بستر مسلح شده با ژئوگرید تنها ارجاعی تر عمل می‌کند.

همچنین در یک چرخه‌ی مشخص از فرایند بارگذاری و باربرداری بدون توجه به سطح بار، در بستر مسلح شده با ترکیب خردلاستیک - ژئوگرید، با افزایش ضخامت لایه‌ی مخلوط خاک و خردلاستیک (h_{rs}) تا ضخامتی برابر با نصف قطر خارجی (D) پی رینگی یعنی $0,5$ (٪) نسبت نشستهای کشسانی افزایش می‌یابد (شکل ۱۰) و افزایش بیشتر ضخامت لایه‌ی مخلوط خاک و خردلاستیک تا ضخامت‌هایی بیشتر از نصف قطر خارجی پی رینگی (یعنی ۱ و ۰,۷۵) (٪) سبب کاهش مجدد نسبت نشستهای کشسانی می‌شود. مثلاً نسبت نشستهای کشسانی برای پی رینگی مستقر بر بستر غیر مسلح و همچنین بستر مسلح شده با ترکیب خردلاستیک - ژئوگرید با نسبت‌های ضخامت (h_{rs}/D) ۰,۵، ۰،۷۵ و ۱٪

منابع (References)

1. Sharma, V. and Kumar, A. "Influence of relative density of soil on performance of fiber-reinforced soil foundations", *Geotextiles and Geomembranes*, **45**(5), pp. 9-507 (2017).
2. Ohri, M.L., Purhit, D.G.M. and Dubey, M.L. "Behavior of ring footings on dune sand overlaying dense sand", *International Conference of Civil Engineers*, Tehran, Iran (1997).
3. Boushehrian, J.H. and Hataf, N. "Experimental and numerical investigation of the bearing capacity of model circular and ring footings on reinforced sand", *Geotextiles and Geomembranes*, **21**(4), pp. 241-256 (2003).
4. EI Sawwaf, M. and Nazir, A. "Behavior of eccentrically loaded small-scale ring footings resting on reinforced layered soil", *Journal of Geotechnic and Geoenvironmental Engineering*, **138**(3), pp. 376-384 (2012).
5. Kumar, J. and Ghosh, P. "Bearing capacity factor $N\gamma$ for ring footings using the method of characteristics", *Canadian Geotechnical Journal*, **42**(5), pp. 1474-148 (2005).
6. Zhao, L. and Wang, J.H. "Vertical bearing capacity for ring footings", *Computers and Geotechnics*, **35**(2), pp. 292-304 (2008).
7. Laman, M. and Yildiz, A. "Numerical study of ring foundation on geogrid reinforced sand", *Ceosynthetics International*, **14**(2), pp. 52-64 (2007).
8. Gotteland, P., Lambert, S. and Balachowski, L. "Strength characteristics of tyre chips-sand mixtures", *Studia Geotechnica et Mechanica*, **27**(1-2), pp. 55-66 (2005).
9. Edincliler, A., Cabalar, A.F., Cagatay, A. and et al. "Tri-axial compression behavior of sand and tire wastes using neural networks", *Neural Computing and Applications*, **21**(3), pp. 441-452 (2012).
10. Anvari, S.M. and Shooshpasha, I. "Influence of size of granulated rubber on bearing capacity of fine-grained sand", *Arabian Journal of Geosciences*, **9**(18), pp. 707 (2016).
11. Bali Reddy, S., Pradeep Kumar, D. and Murali Krishna, A. "Evaluation of the optimum mixing ratio of a sand-tire chips mixture for geoengineering applications", *Journal of Materials in Civil Engineering*, **28**(2), pp. 1-7 (2016).
12. Chenari, R.J., Fatahi, B., Maroufi, M.A.A. and et al.. "An experimental and numerical investigation into the compressibility Geotechnical and Geological and settlement of sand mixed with TDA", *Engineering*, **35**(5), pp. 1-20 (2017).
13. US-EPA. "Markets for Scrap tires", United States Environmental Protection Agency, Office of Solid Waste, EPA1530-SW90-074A (October 1991).
14. <https://archive.epa.gov/epawaste/conserve/materials/tires/web/pdf/tires.pdf>.
15. Moghaddas Tafreshi, S.N. and Norouzi, A.H. "Bearing capacity of a square model footing on sand reinforced with shredded tire-an experimental investigation", *Construction and Building Materials*, **35**, pp. 457-556 (2012).
16. Tavakoli Mehrjardi, Moghaddas Tafreshi, S.N., Joz Darabi, N., GH. and et al. "Experimental and numerical investigation of footing behaviour on multi-layered rubber-reinforced soil", *European Journal of Environmental and Civil Engineering*, **23**(1), pp. 1-24 (2016).
17. Mittal, R.K. and Gill, G. "Pressure settlement behaviour of strip footing resting on tire-chip reinforced sand", *International Journal of Geotechnical Engineering*, **14**(2), pp. 1-7 (2017).
18. Boushehrian, A.H., Hataf, N. and Ghahramani, A., "Modeling of the cyclic behavior of shallow foundations resting on geomesh and grid-anchor reinforced sand", *Geotextiles and Geomembranes*, **29**(3), pp. 242-248 (2011).
19. Moghaddas Tafreshi, S.N., Khalaj, O. and Dawson, A.R. "Repeated loading of soil containing granulated rubber and multiple geocell layers", *Geotextiles and Geomembranes*, **42**, pp. 25-38 (2014).
20. Tavakoli Mehrjardi, G.H., Moghaddas Tafreshi, S.N. and Dawson, A.R. "Combined use of geocell reinforcement and rubber-soil mixtures to improve performance of buried pipes", *Geotextiles and Geomembranes*, **34**, pp. 116-130 (2012).
21. Moghaddas Tafreshi, S.N., Joz Darabi, N. and Dawson, A.R. "Cyclic loading response of footing on multi-layered rubber-soil mixtures", *Geomechanics and Engineering*, **14**(2), pp. 115-129 (2018).
22. ASTM D 2487-11, "Standard practice for classification of soils for engineering purposes (Unified Soil Classification System)", American Society for Testing and Materials, ASTM International, West Conshohocken, (2011).
23. Hsieh, C. and Mao, L "A bench-scale performance test for evaluation of the geosynthetic reinforcement effects on granular base courses", In *Geosynthetics Research and Development in Progress*, pp. 1-11 (2005).
24. Norouzi2a, A. "Application of waste rubber to Tafreshi, S.N. and reduce the settlement of road embankment", *Geomechanics and Engineering*, **9**(2), pp. 219-241 (2015).
25. Moghaddas Tafreshi, S.N., Khalaj, O. and Dawson, A.R. "Pilot-scale load tests of a combined multilayered geocell and rubber-reinforced foundation", *Geosynthetics International*, **20**(3), pp. 143-161 (2013).
26. Joz Darabi, N. and Moghaddas Tafreshi, S.N. "Investigation into footing behavior of layered granulated rubber-soil mixture: Experimental study on small and large scale models", *Sharif Journal Civil Engineering*, **32.2**(2.2), pp. 79-88 (2016).
27. Sireesh, S., Sitharam, T.G. and Dash, S.K. "Bearing capacity of circular footing on geocell-sand mattress overlying clay bed with void", *Geotextiles and Geomembranes*, **27**(2), pp. 89-98 (2009).
28. Moghaddas Tafreshi, S.N., Tavakoli Mehrjardi, Gh. and Ahmadi, M. "Experimental and numerical investigation on circular footing subjected to incremental cyclic loads", *International Journal of Civil Engineerig*, Iran, **6**(4), pp. 265-274 (2011).
29. Tavakoli Mehrjardi, G.H. Jamshidi, H., *Bearing capacity and settlement of ring footing*, Thechnical and Soil Mechanics Lab Co, (2010). Book In Persian.

30. ASTM D1556/D1556M-15, "Standard test method for density and unit weight of soil in place by the sand-cone method", American Society for Testing and Materials, ASTM International, West Conshohocken, PA, USA. (2015).
31. Krishnaswamy, N.R., Rajagopal, K. and Madhavi Latha, G. "Model studies on geocell supported embankments constructed over soft clay foundation". *Geotechnical Testing Journal, ASTM*, **23**(1), pp. 45-54 (2000).
32. DeMerchant, M.R., Valsangkar, A.J. and Schriver, A.B. "Plate load tests on geogrid reinforced expanded shale lightweight aggregate" *Geotextile and Geomembranes*, **20**(3), 173-190 (2002).
33. Dash, S.K., Sireesh, S. and Sitharam, T.G. "Model studies on circular footing supported on geocell reinforced sand underlain by soft clay", *Geotextiles and Geomembranes*, **21**(4), pp. 197-219 (2003).
34. Sitharam, G. and Sireesh, S. "Behavior of embedded footings supported on geogrid cell reinforced foundation beds", *Geotechnical Testing Journal*, **28**(5), pp. 452-463 (2005).
35. Sitharam G, Sireesh, S and Dash, SK. "Performance of surface footing on geocell reinforced soft clay beds", *Geotechnical and Geological Engineering*, **25**(5), pp. 509-524 (2007).
36. Moghaddas Tafreshi, S.N. and Dawson, A.R. "Comparison of bearing capacity of a strip footing on sand with geocell and with planar forms of geotextile reinforcement", *Geotextiles and Geomembranes*, **28**(1), pp. 72-84 (2010a).
37. Werkmeister, S., Dawson, A.R. and Wellner, F. "Permanent deformation behavior of granular materials", *Road Materials and Pavement Design*, **6**(1), pp. 31-51 (2005).
38. Ghadimi, B., Nikraz, H. and Rosano, M. "Dynamic simulation of a flexible pavement layers considering shake-down effects and soil-asphalt interaction", *Transportation Geotechnics*, **7**, pp. 40-58 (2016).
39. Huang, C.C., and Tatsuoka, E. "Prediction of bearing capacity in level sandy ground reinforced with strip reinforcement", In Proc. of International Symposium on Theory and Practice of Earth Reinforcement (IS Kyushu'88), Fukuoka, Japan, 1, pp. 191-196 (1988).
40. Huang, C.C., Tatsuoka, F. "Bearing capacity of reinforced horizontal sandy ground", *Geotextiles and Geomembranes*, **9**(1), pp. 51-82 (1990).